

Física del Plasma: Diagnósticos de Plasmas en Astrofísica y Fusión

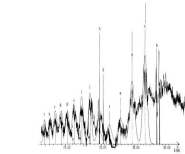
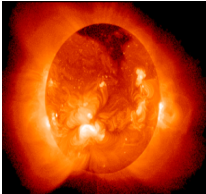


FIG. 1. Experimental spectrum of P9 in laser-produced plasma (this work), compared with theoretical OPA. The intensity of each array was adjusted to obtain the best fit. $1s^2 \rightarrow 2s^2$ transitions: $1s-2s^2 1s^2/1s^2 2s^2$, $1s-2s^2 1s^2/1s^2 2s^2$, $1s-2s^2 1s^2/1s^2 2s^2$.



Darío Mitnik

Instituto de Astronomía
y Física del Espacio

Departamento de Física
Universidad de
Buenos Aires

Argentina

Basado en el curso dictado por Prof. J.L. Schwob
The Hebrew University of Jerusalem, Israel.

Programa del Curso

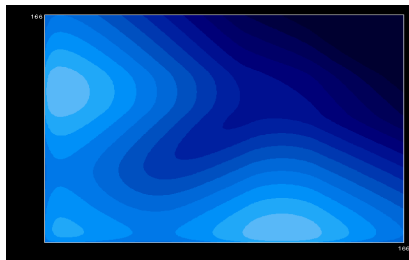
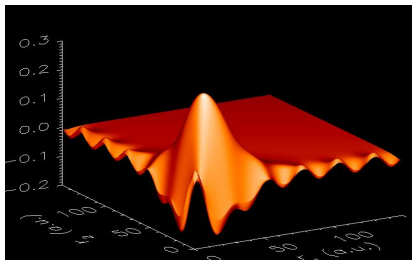
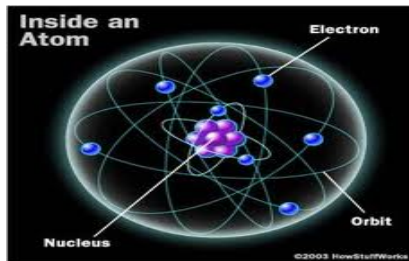
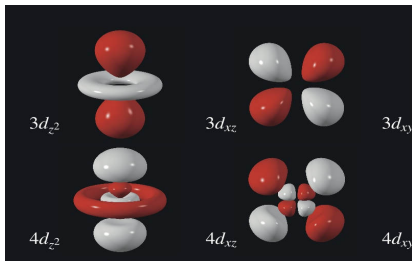
1. Física de Plasmas: Conceptos Generales
2. Fusión Termonuclear Controlada
3. Equilibrio Termodinámico
4. **Procesos fundamentales en Física Atómica**
5. Plasmas fuera del equilibrio termodinámico
6. Modelo Coronal
7. Modelo Colisional–Radiativo
8. Diagnóstico de Plasmas

Programa del Curso

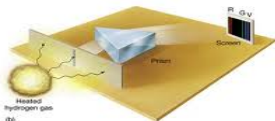
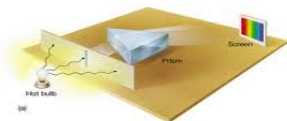
4. Procesos fundamentales en Física Atómica

- ▶ El átomo de Hidrógeno, estructura, niveles y transiciones
- ▶ Procesos radiativos
- ▶ Procesos colisionales
- ▶ Recombinación y Autoionización
- ▶ Métodos de aproximación y bases de datos

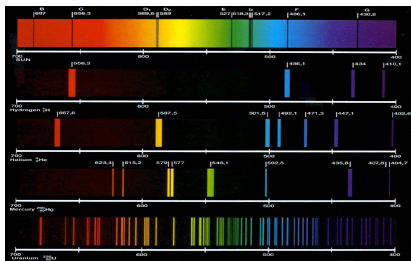
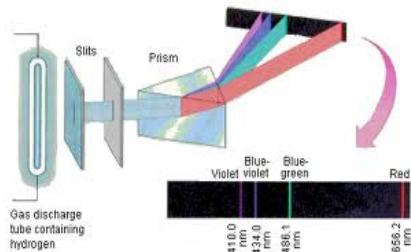
4. Física Atómica: Procesos Fundamentales



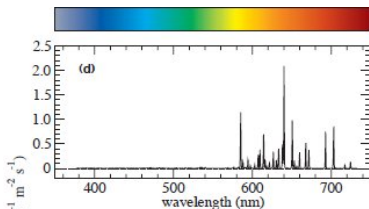
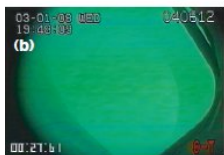
Líneas Espectrales



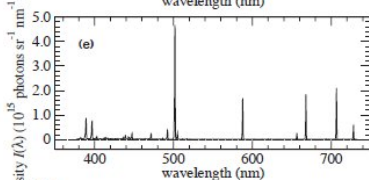
Copyright © 2005 Pearson Prentice Hall, Inc.



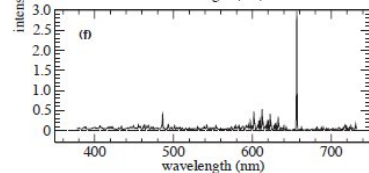
Líneas Espectrales



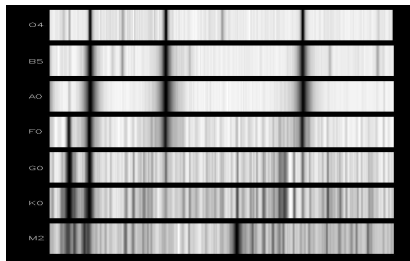
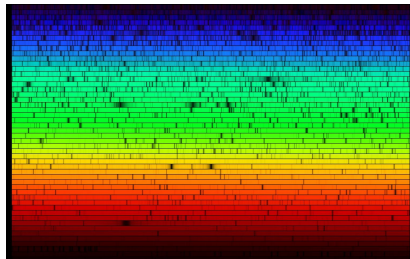
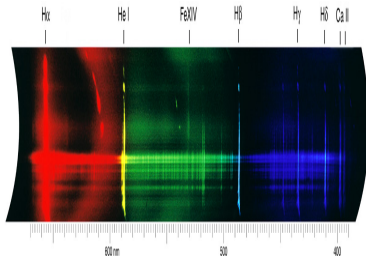
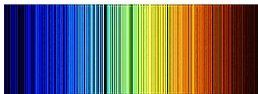
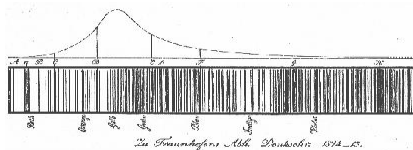
Ne



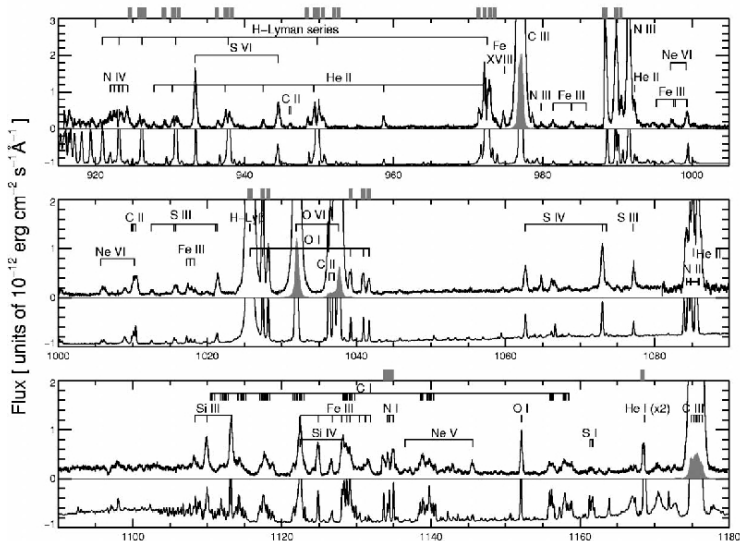
He

H₂

Líneas Espectrales



Capella



Líneas de Balmer

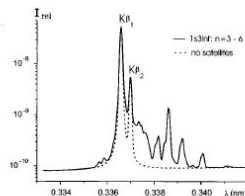
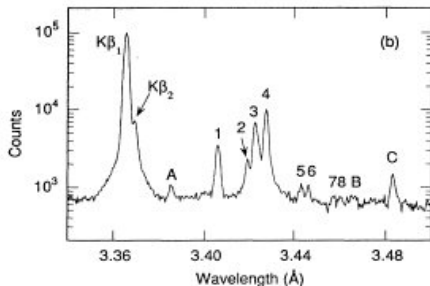
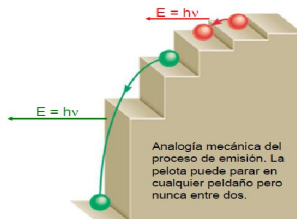
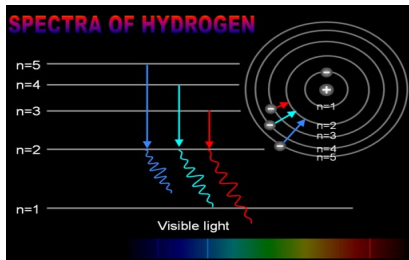


FIG. 3. Line overlapping of dielectronic Rydberg satellites $1s3lnl'$ with the $K\beta$ lines, $n_e = 10^{19} \text{ cm}^{-3}$, $kT_e = 500 \text{ eV}$.

El Modelo de Bohr



El Atomo de Bohr

- ▶ Fuerza centrípeta: $\frac{m v_e^2}{r}$
- ▶ Fuerza Coulombiana: $\frac{Z e^2}{4\pi\epsilon_0 r^2}$

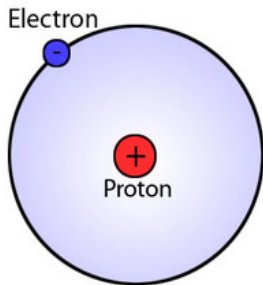
Hipótesis de Bohr:

$$L_n = m_e v r_n = n \frac{h}{2\pi} = n \hbar$$

$$r_n = \frac{n^2}{Z} \frac{h^2 \epsilon_0 4\pi}{\pi m_e e^2 4\pi} = \frac{n^2}{Z} \frac{\hbar^2 4\pi\epsilon_0}{m_e e^2}$$

$$r_n = \frac{n^2}{Z} a_0$$

$$a_0 = 5.2917 \times 10^{-11} \text{ m} = 0.52917 \text{ \AA}$$



El Atomo de Bohr

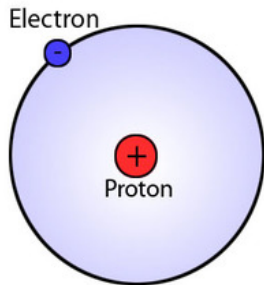
Hipótesis de Bohr:

$$L_n = m_e v r_n = n \frac{h}{2\pi} = n \hbar$$

$$\begin{aligned} v_n &= \frac{n\hbar}{m_e r_n} = \frac{Z}{n} \frac{e^2 c}{4\pi\epsilon_0 \hbar c} \\ &= \frac{Z}{n} \frac{e^2}{\hbar c} \frac{1}{4\pi\epsilon_0} c \end{aligned}$$

$$v_n = \frac{Z}{n} \alpha c$$

$$\alpha = \frac{e^2}{\hbar c} \frac{1}{4\pi\epsilon_0} = \frac{1}{137}$$



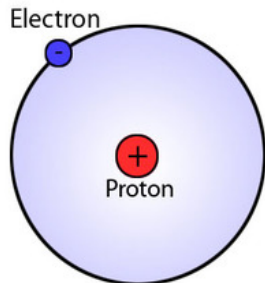
El Atomo de Bohr

Energía:

$$E = E_k + E_p$$

$$E_k = \frac{1}{2}mv^2$$
$$E_p = -\frac{1}{4\pi\epsilon_0} \frac{Ze^2}{r}$$

$$\Rightarrow E = -\frac{1}{8\pi\epsilon_0} \frac{Ze^2}{r} = \frac{1}{2}E_p$$



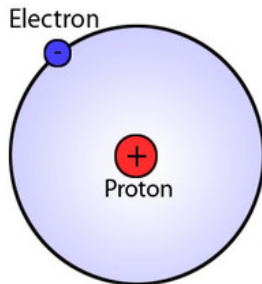
El Atomo de Bohr

Energía:

$$E = E_k + E_p$$

$$E_n = -\frac{1}{2} \frac{Z^2}{n^2} \frac{e^4 m_e c^2}{(4\pi\epsilon_0)^2 \hbar^2 c^2}$$

$$E_n = -\frac{1}{2} \frac{Z^2}{n^2} \alpha^2 m_e c^2$$



$$m_e c^2 = 0.511 \text{ MeV}$$

$$\frac{1}{2} \alpha^2 m_e c^2 = \frac{1}{2} E_H = \frac{1}{2} 27.2113845 \text{ eV} = 13.60569 \text{ eV}$$

Átomos hidrogenoides

- ▶ $r_n = \frac{n^2}{Z} a_0 \approx \frac{n^2}{Z} 0.5 \text{ \AA}$
- ▶ $v_n = \frac{Z}{n} \alpha c$
- ▶ $E_n = -\frac{1}{2} \frac{Z^2}{n^2} \alpha^2 m_e c^2 \approx -13.6 \frac{Z^2}{n^2} \text{ eV}$

Unidades Atómicas

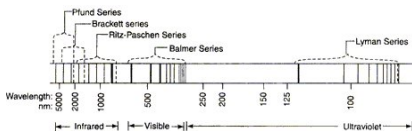
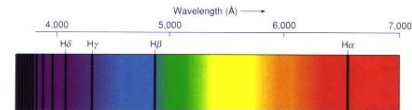
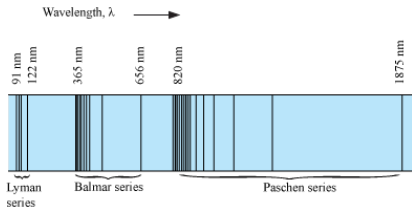
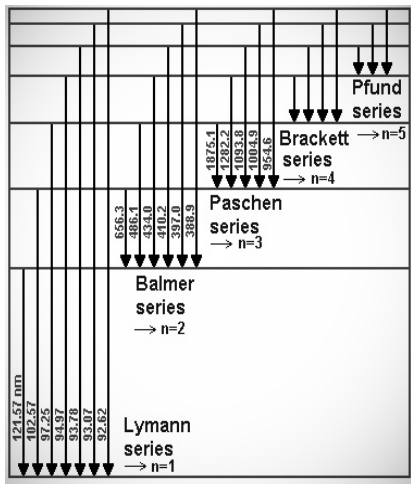
Una forma de simplificar las cuentas:

- ▶ $hc = 12398 \text{ eV \AA}$
- ▶ $\hbar c = 1974 \text{ eV \AA}$
- ▶ $m_e c^2 = 0.511 \text{ MeV}$

Pero más fácil es aún trabajar en unidades atómicas ($m_e = \hbar = a_0 = 4\pi\epsilon_0 = 1$):

- ▶ $r_n = \frac{n^2}{Z}$
- ▶ $v_n = \frac{Z}{n}$
- ▶ $E_n = -\frac{1}{2} \frac{Z^2}{n^2}$

El Atomo de Bohr



La Ecuación de Schrödinger

$$i\hbar \frac{\partial \Psi(\mathbf{r}, t)}{\partial t} = \hat{H} \Psi(\mathbf{r}, t)$$

Si el potencial V no depende del tiempo, se separa la solución

$$\Psi(\mathbf{r}, t) = \phi(\mathbf{r}) \times f(t)$$

La **Ecuación de Schrödinger independiente del tiempo** queda:

$$-\frac{\hbar^2}{2m} \nabla^2 \phi_n(\mathbf{r}) + V(\mathbf{r}) \phi_n(\mathbf{r}) = E_n \phi_n(\mathbf{r})$$

La Ecuación de Schrödinger en 1-d

si $\mathbf{r} = x$, entonces

La **Ecuación de Schrödinger unidimensional independiente del tiempo** queda:

$$-\frac{\hbar^2}{2m} \frac{\partial^2}{\partial x^2} \varphi_n(x) + V(x) \varphi_n(x) = E_n \varphi_n(x)$$

La Ecuación de Schrödinger

Si el potencial es central $V(\mathbf{r}) = V(r)$ se separa la solución espacial

$$\phi_n(\mathbf{r}) = \varphi_n(r) Y(\hat{r})$$

La **Ecuación de Schrödinger radial** queda:

$$\left[-\frac{\hbar^2}{2m} \frac{\partial^2}{\partial r^2} + \frac{\hbar^2}{2m} \frac{l(l+1)}{r^2} + V(r) \right] P_{nl}(r) = E_n(r) P_{nl}(r)$$

Donde

$$P_{nl}(r) \equiv r \varphi_{nl}(r) \quad \text{y} \quad \hat{L}^2 Y_l(\hat{r}) = l(l+1) \hbar^2 Y_l(\hat{r})$$

Atomo de Hidrógeno: Soluciones Angulares

Los **Armónicos Esféricos** están dados por

$$Y_{lm}(\theta, \phi) = (-1)^m \left[\frac{(2l+1)(l-m)!}{4\pi(l+m)!} \right]^{1/2} P_l^m(\cos \theta) e^{im\phi} \quad m \geq 0$$

$$Y_{l,-m}(\theta, \phi) = (-1)^m Y_{lm}^*(\theta, \phi)$$

y satisfacen las condiciones de ortonormalidad

$$\begin{aligned} \int Y_{l',m'}^*(\theta, \phi) Y_{lm}(\theta, \phi) &= \int_0^{2\pi} d\phi \int_0^\pi d\theta \sin \theta Y_{l',m'}^*(\theta, \phi) Y_{lm}(\theta, \phi) \\ &= \delta_{l'l} \delta_{m'm'} \end{aligned}$$

Atomo de Hidrógeno: Soluciones Angulares

$$Y_0^0 = \frac{1}{2\sqrt{\pi}}$$

$$Y_1^1 = \frac{\sqrt{3}}{2\sqrt{\pi}} \sin \phi \sin \theta$$

$$Y_1^0 = \frac{\sqrt{3}}{2\sqrt{\pi}} \cos \theta$$

$$Y_1^{-1} = \frac{\sqrt{3}}{2\sqrt{\pi}} \cos \phi \sin \theta$$

$$Y_2^{-2} = \frac{\sqrt{15}}{2\sqrt{\pi}} \cos \phi \sin \phi \sin^2 \theta$$

$$Y_2^{-1} = \frac{\sqrt{15}}{2\sqrt{\pi}} \sin \phi \cos \theta \sin \theta$$

$$Y_2^0 = \frac{\sqrt{5}}{4\sqrt{\pi}} (3 \cos^2 \theta - 1)$$

$$Y_2^1 = \frac{\sqrt{15}}{2\sqrt{\pi}} \cos \phi \cos \theta \sin \theta$$

$$Y_2^2 = \frac{\sqrt{15}}{4\sqrt{\pi}} (\cos^2 \phi - \sin^2 \phi) \sin^2 \theta$$

$$Y_1^1 = \frac{\sqrt{3}}{2\sqrt{\pi}} y$$

$$Y_1^0 = \frac{\sqrt{3}}{2\sqrt{\pi}} z$$

$$Y_1^{-1} = \frac{\sqrt{3}}{2\sqrt{\pi}} x$$

$$Y_2^{-2} = \frac{\sqrt{15}}{2\sqrt{\pi}} xy$$

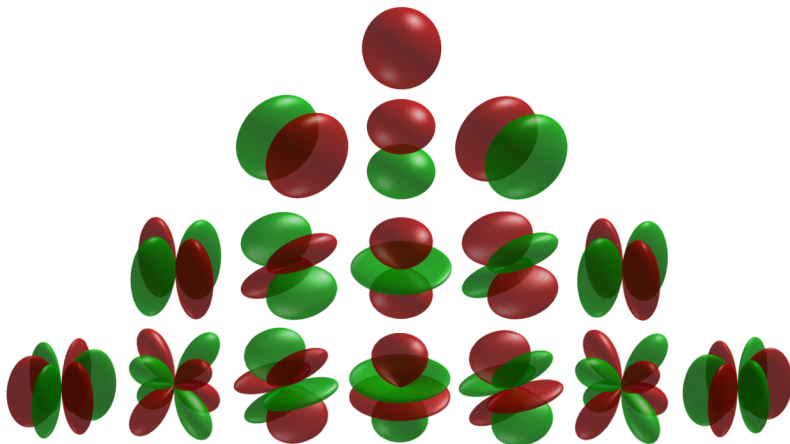
$$Y_2^{-1} = \frac{\sqrt{15}}{2\sqrt{\pi}} yz$$

$$Y_2^0 = \frac{\sqrt{5}}{4\sqrt{\pi}} (3z^2 - 1)$$

$$Y_2^1 = \frac{\sqrt{15}}{2\sqrt{\pi}} xz$$

$$Y_2^2 = \frac{\sqrt{15}}{4\sqrt{\pi}} (x^2 - y^2)$$

Atomo de Hidrógeno: Soluciones Angulares



Soluciones Angulares: Paridad

La transformación de **Paridad**

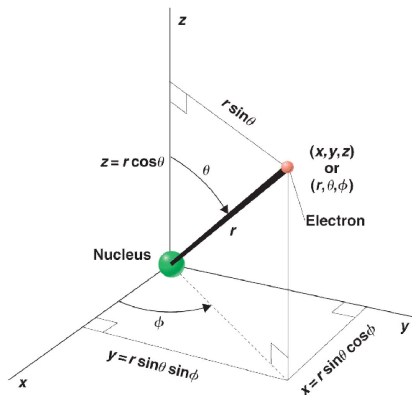
($x \rightarrow -x$; $y \rightarrow -y$; $z \rightarrow -z$), tiene la forma

$$r \rightarrow r$$

$$\theta \rightarrow \pi - \theta$$

$$\phi \rightarrow \phi + \pi$$

$$Y_{lm}(\pi - \theta, \phi + \pi) = (-1)^l Y_{lm}(\theta, \phi)$$



Copyright © 2006 Pearson Education, Inc., Publishing as Benjamin Cummings

La Ecuación de Schrödinger radial

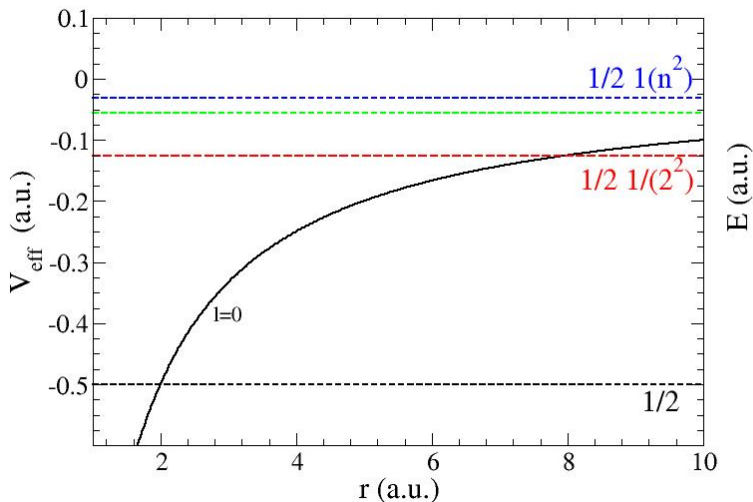
$$\left[-\frac{\hbar^2}{2m} \frac{\partial^2}{\partial r^2} + \frac{\hbar^2}{2m} \frac{l(l+1)}{r^2} + V(r) \right] P_{nl}(r) = E_n(r) P_{nl}(r)$$

se puede escribir como

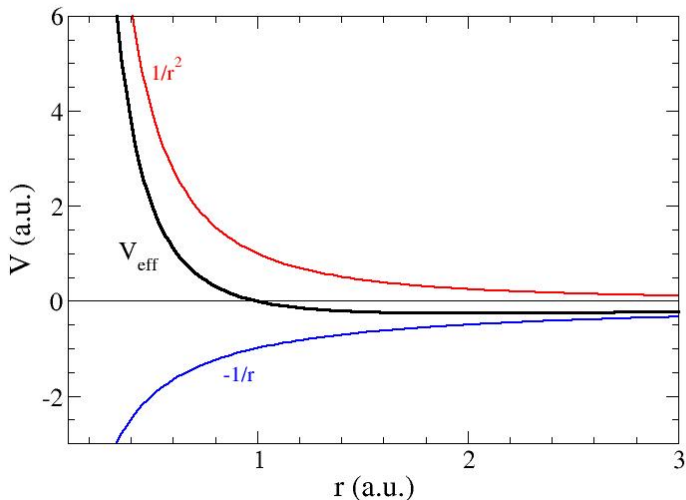
$$\left[-\frac{\hbar^2}{2m} \frac{\partial^2}{\partial r^2} + V_{\text{eff}}(r) \right] P_{nl}(r) = E_n(r) P_{nl}(r)$$

$$V_{\text{eff}}(r) = \frac{\hbar^2}{2m} \frac{l(l+1)}{r^2} + V(r)$$

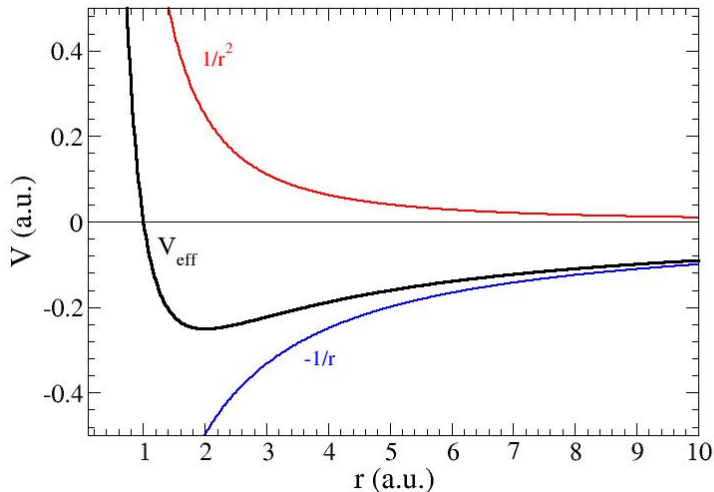
La Ecuación de Schrödinger radial



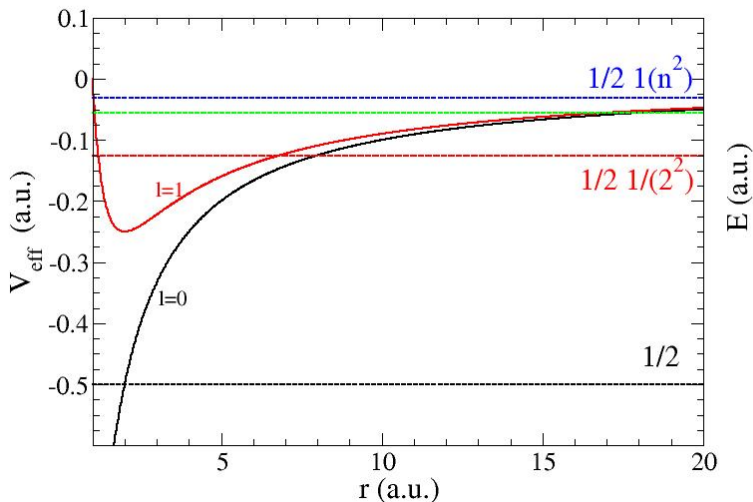
La Ecuación de Schrödinger radial



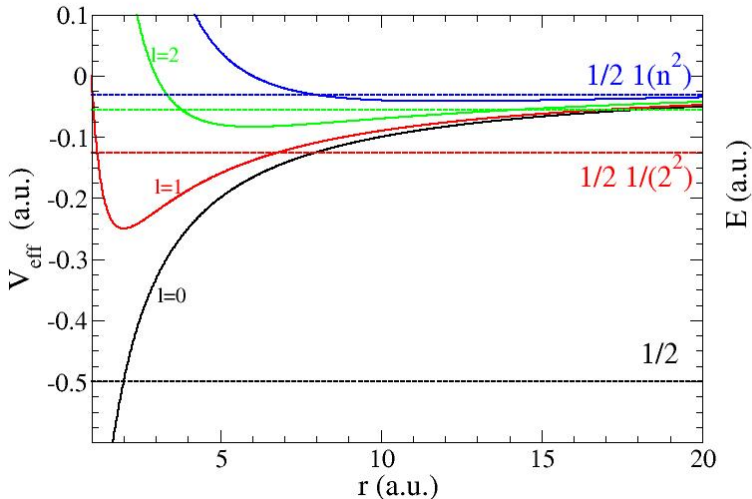
La Ecuación de Schrödinger radial



La Ecuación de Schrödinger radial



La Ecuación de Schrödinger radial



Atomo de Hidrógeno: Soluciones Radiales

Las **soluciones radiales reducidas** están dadas por

$$P_{nl}(r) = N_{nl} e^{-\rho/2} \rho^l L_{n+l}^{2l+1}(\rho)$$

donde $\rho \equiv \frac{2Z}{na_\mu} r$, $a_\mu = \frac{4\pi\epsilon_0\hbar^2}{\mu e^2}$, y los polinomios de Laguerre

$$L_{n+l}^{2l+1}(\rho) = \sum_{k=0}^{n-l-1} (-1)^{k+1} \frac{[(n+l)!]^2}{(n-l-1-k)!(2l+1+k)!} \frac{\rho^k}{k!}$$

y el factor de normalización

$$N_{nl} = - \left\{ \left(\frac{2Z}{na_\mu} \right)^3 \frac{(n-l-1)!}{2n[(n+l)!]^3} \right\}^{1/2}$$

Atomo de Hidrógeno: Soluciones Radiales

$$R_{10} = 2 \left(\frac{Z}{a_0} \right)^{\frac{3}{2}} e^{-Zr/a_0}$$

$$R_{21} = \frac{1}{\sqrt{3}} \left(\frac{Z}{2a_0} \right)^{\frac{3}{2}} \left(\frac{Zr}{a_0} \right) e^{-Zr/2a_0}$$

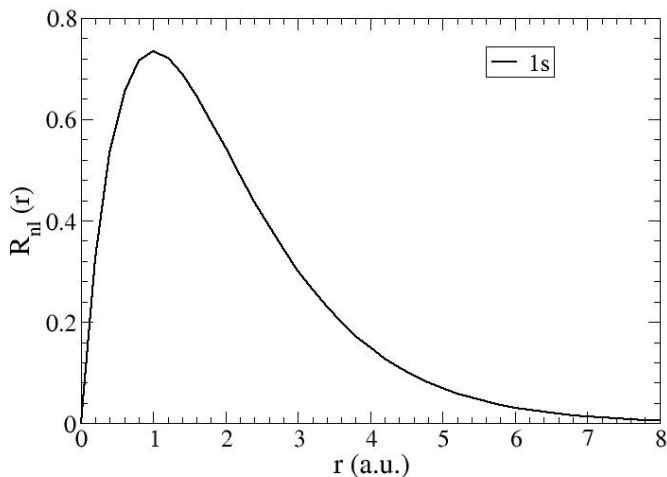
$$R_{20} = 2 \left(\frac{Z}{2a_0} \right)^{\frac{3}{2}} \left(1 - \frac{Zr}{2a_0} \right) e^{-Zr/2a_0}$$

$$R_{32} = \frac{2\sqrt{2}}{27\sqrt{5}} \left(\frac{Z}{3a_0} \right)^{\frac{3}{2}} \left(\frac{Zr}{a_0} \right)^2 e^{-Zr/3a_0}$$

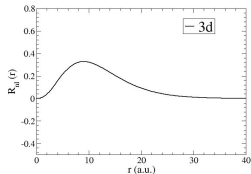
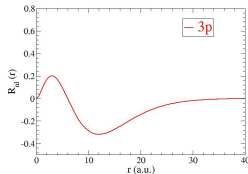
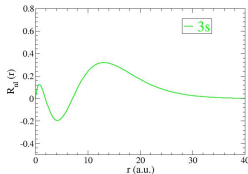
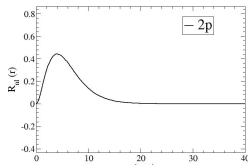
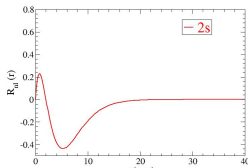
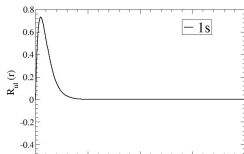
$$R_{31} = \frac{4\sqrt{2}}{3} \left(\frac{Z}{3a_0} \right)^{\frac{3}{2}} \left(\frac{Zr}{a_0} \right) \left(1 - \frac{Zr}{6a_0} \right) e^{-Zr/3a_0}$$

$$R_{30} = 2 \left(\frac{Z}{3a_0} \right)^{\frac{3}{2}} \left(1 - \frac{2Zr}{3a_0} + \frac{2(Zr)^2}{27a_0^2} \right) e^{-Zr/3a_0}$$

Atomo de Hidrógeno: Soluciones Radiales



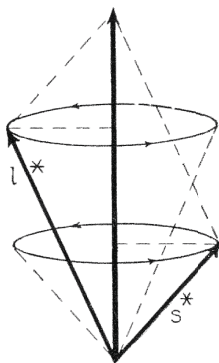
Átomo de Hidrógeno: Soluciones Radiales



Notación Espectroscópica

coupling of angular momentum

$$j^* \quad j = l + s \quad (|s| = 1/2)$$



total angular momentum
quantum number

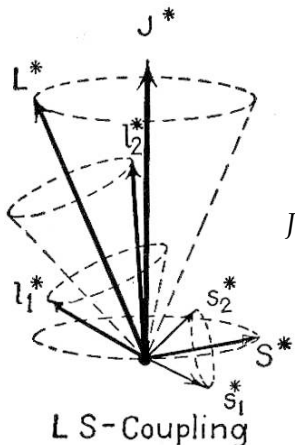
$$j = \begin{cases} l \pm \frac{1}{2} & \text{for } l \geq 1 \\ \frac{1}{2} & \text{for } l = 0 \end{cases}$$

each j state has $2j+1$ magnetic
substates m ($= -j, -j+1, \dots, j$)

(H. E. White, *Introduction to Atomic Spectra*)

(notas tomadas de Motoshi Goto)

L-S coupling



(H. E. White, *Introduction to Atomic Spectra*)

$$L = l_1 + l_2$$

$$S = s_1 + s_2$$

$$J = L + S$$

$$J = \begin{cases} L - S, \dots, L + S & \text{for } L \geq S \\ & (2S + 1 \text{ states}) \\ S - L, \dots, S + L & \text{for } L < S \\ & (2L + 1 \text{ states}) \end{cases}$$

each J state has $2J+1$ magnetic substates $M (= -J, -J+1, \dots, J)$

(notas tomadas de Motoshi Goto)

quantum numbers

variables	meanings	values	
n	principal	0, 1, 2, ...	
s	spin	1/2	
S		0, 1/2, 1, 3/2, 2, ...	
l	orbital	0, 1, 2, ...	s, p, d, f, ...
L			S, P, D, F, ...
j	total	0, 1/2, 1, 3/2, 2, ...	
J			
m	magnetic	0, $\pm 1/2$, ± 1 , $\pm 3/2$, ± 2 , ...	
M			

(notas tomadas de Motoshi Goto)

electron states for hydrogen

orbital angular momentum quantum number

$n \backslash l$	0	1	2	3	4	5
n	s (2)	p (6)	d (10)	f (14)	g (18)	h (22)
1 (2)	1s					
2 (8)	2s	2p				
3 (18)	3s	3p	3d			
4 (32)	4s	4p	4d	4f		
5 (50)	5s	5p	5d	5f	5g	
6 (72)	6s	6p	6d	6f	6g	6h

$m_l = -l, \dots, l$
 $m_s = \pm 1/2$

spin quantum number $s = 1/2$

() indicates statistical weight

(notas tomadas de Motoshi Goto)

PERIODIC TABLE																	
Atomic Properties of the Elements																	
NIST National Institute of Standards and Technology Technology Administration, U.S. Department of Commerce																	
Physics Laboratory physics.nist.gov																	
Standard Reference Data Group www.nist.gov/srd																	
Frequently used fundamental physical constants For the most accurate values of these and other constants, visit physics.nist.gov/constants																	
1 second = 9 192 631 770 periods of radiation corresponding to the transition between the two hyperfine levels of the ground state of ¹³³ Cs Speed of light in vacuum c 299 792 458 m s ⁻¹ (exact) Planck constant h 6.626 070 15 × 10 ⁻³⁴ J s (exact) ($\hbar = h/2\pi$) elementary charge e 1.602 176 634 × 10 ⁻¹⁹ C electron mass m_e 9.109 383 56 × 10 ⁻³¹ kg proton mass m_p 1.672 621 63 × 10 ⁻²⁷ kg fine-structure constant α 1/137.036 Rydberg constant R_∞ 1.097 373 157 × 10 ⁷ Hz $R_\infty c$ 3.289 842 × 10 ¹⁴ Hz $R_\infty hc$ 13.605 67 eV Boltzmann constant k 1.380 67 × 10 ⁻²³ J K ⁻¹																	
Solids Liquids Gases Artificially Prepared																	
18 VIIIA He Helium 4.002 603 254 26.987 289 24																	
17 VIIA F Fluorine 18.998 403 2 17.007 471 2																	
16 VIA O Oxygen 15.999 062 2 15.999 031 9																	
15 VA N Nitrogen 14.006 438 4 14.003 074 0																	
14 IVA C Carbon 12.010 738 1 12.010 937 0																	
13 IIIA B Boron 10.811 10.810 725 1																	
12 IIB Zn Zinc 65.38 65.380 40																	
11 IB Cu Copper 63.546 63.546 880																	
10 Ni Nickel 58.693 4 58.693 44																	
9 VIII Co Cobalt 58.933 2 58.933 200																	
8 VIII Fe Iron 55.845 55.845 209																	
7 VII Cr Chromium 51.996 1 51.996 150																	
6 VIB V Vanadium 50.941 5 50.941 51																	
5 VB Ti Titanium 47.867 47.867 101																	
4 IVB Zr Zirconium 91.224 91.224 2																	
3 IIIB Sc Scandium 44.955 91 44.955 912																	
2 IIA Be Beryllium 9.012 238 1 9.012 238 10																	
1 IA H Hydrogen 1.007 94 1.007 940 35																	
19	20	21	22	23	24	25	26	27	28	29	30	31	32	33	34	35	36
K	Ca	Sc	Ti	V	Cr	Mn	Fe	Co	Ni	Cu	Zn	Ga	Ge	As	Se	Br	Kr
37	38	39	40	41	42	43	44	45	46	47	48	49	50	51	52	53	54
Rb	Sr	Y	Zr	Nb	Mo	Tc	Ru	Rh	Pd	Ag	Cd	In	Sn	Sb	Te	I	Xe
55	56	57	72	73	74	75	76	77	78	79	80	81	82	83	84	85	86
Cs	Ba	Lanthanides	Hf	Ta	W	Re	Os	Ir	Pt	Au	Hg	Tl	Pb	Bi	Po	At	Rn
87	88	Actinides	Rf	Db	Sg	Bh	Hs	Mt	Uun	Uu	Uub	Uuq	Uuh	Uuu	Uub	Uuc	Uud
89	90	91	92	93	94	95	96	97	98	99	100	101	102	103	104	105	106
Ac	Th	Pa	U	Np	Pu	Am	Cm	Bk	Cf	Es	Fm	Md	No	Lr			

^aBased upon ¹²C. (s) indicates the mass number of the most stable isotope.

For a description of the data, visit physics.nist.gov/data

NIST SP 966 (September 2003)

Terminología

Denominación	Especificación	Peso Estadístico
Nivel Hidrogénico	n (degenerado en l)	$2n^2$
Configuración	n_i y l_i	
Término	n_i, l_i, L y S	$(2L + 1)(2S + 1)$
Nivel	n_i, l_i, L, S y J	$(2J + 1)$
Estado	n_i, l_i, L, S, J y M	1

term designation

$$n l^k n' l'^{k'} \dots 2S+1 L_J$$

configuration	possible terms	isoelectronic sequence
3d	$^2D_{3/2,5/2}$	H-like
1s4f	1F_3 $^3F_{2,3,4}$	He-like
1s ² 2p	$^2P_{1/2,3/2}$	Li-like
1s ² 2s ²	1S_0	Be-like
1s ² 2s2p(³ P ^o)3p	$^2S_{1/2}$ $^2P_{1/2,3/2}$ $^2D_{3/2,5/2}$ $^4S_{3/2}$ $^4P_{1/2,3/2,5/2}$ $^4D_{1/2,3/2,5/2,7/2}$	B-like

one electronic configuration could have several terms

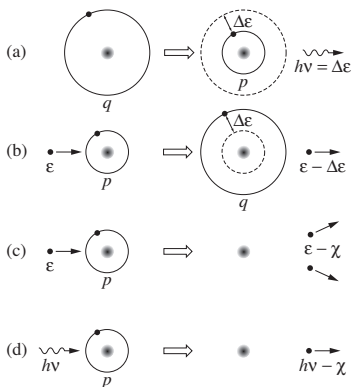
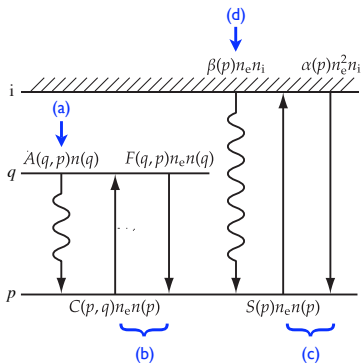
(notas tomadas de Motoshi Goto)

configuration		term(s)
$1s2s2p$ (Li-like)	\Rightarrow	$1s2s(^1S)2p\ ^2P_{1/2,3/2}$ $1s2s(^3S)2p\ ^2P_{1/2,3/2}$ $^4P_{1/2,3/2,5/2}$
$1s^22p^2$ (Be-like)	\Rightarrow	$^1S, ^1D, ^3P$

(notas tomadas de Motoshi Goto)

atomic processes

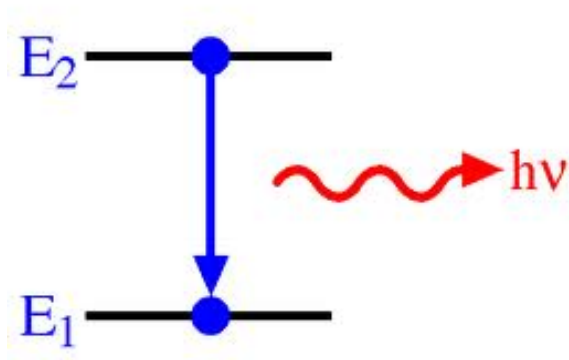
various processes should
be taken into consideration



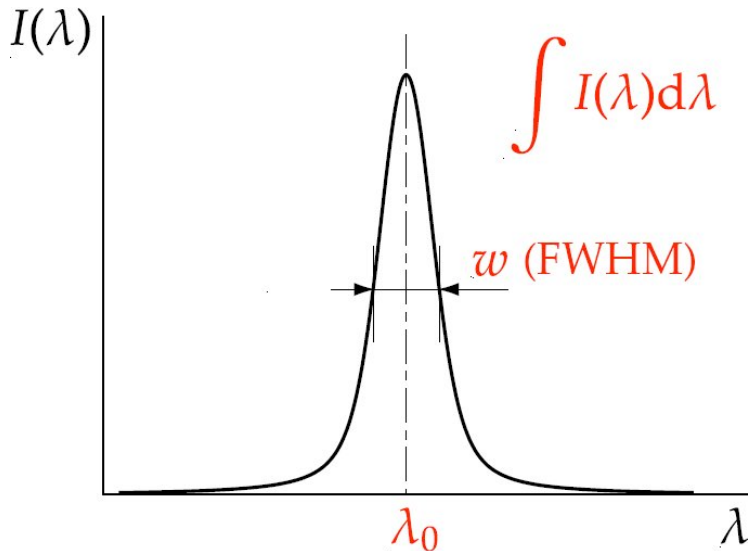
(notas tomadas de Motoshi Goto)

Procesos Radiativos

$$\hbar\omega_{21} = E_2 - E_1$$

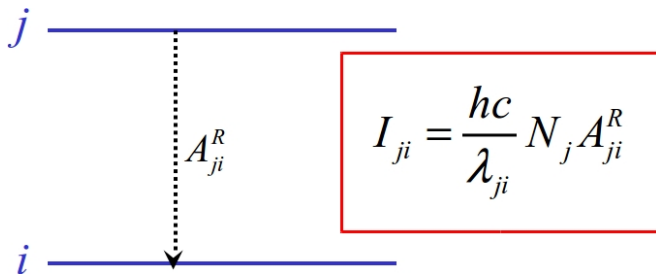


Propiedades de las líneas de emisión



Intensidad de línea

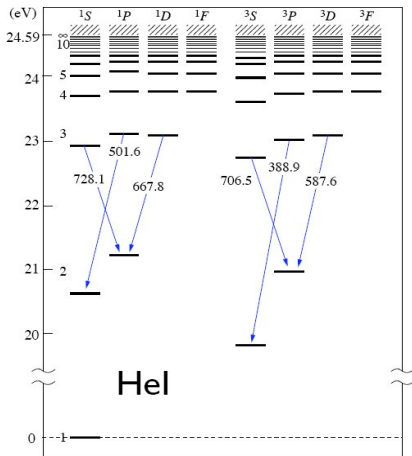
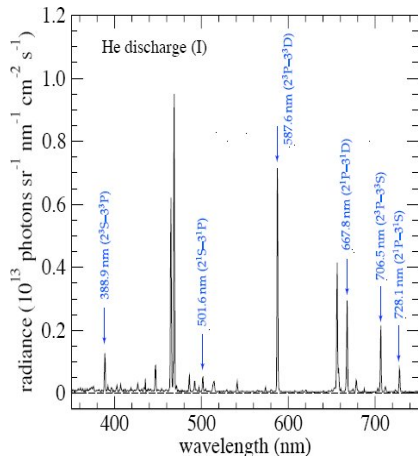
La Intensidad es el producto de la **densidad de población** por la probabilidad de transición (**coeficiente de Einstein**) A por la energía de la transición.



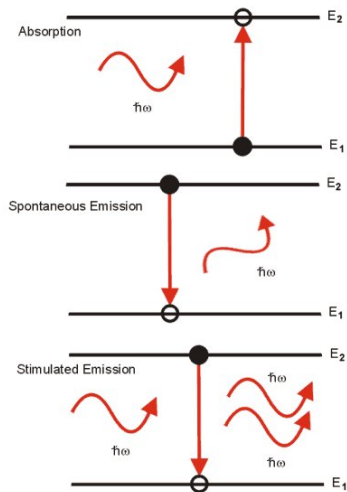
$$[A^R] = \text{m}^{-3}\text{s}^{-1}$$

Coefficiente de Einstein

El coeficiente A es **constante** y propio de cada transición



Procesos Radiativos



Balance Detallado

Es la situación de equilibrio en la que cada proceso elemental está balanceado completamente por su reacción inversa (el mismo número de reacciones por tiempo por volumen).

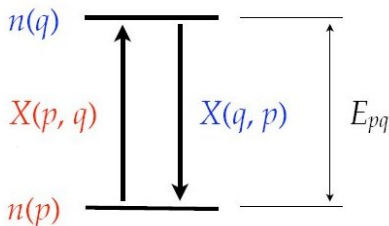
- ▶ En equilibrio termodinámico:

$$n(p) X(p, q) = n(q) X(q, p)$$

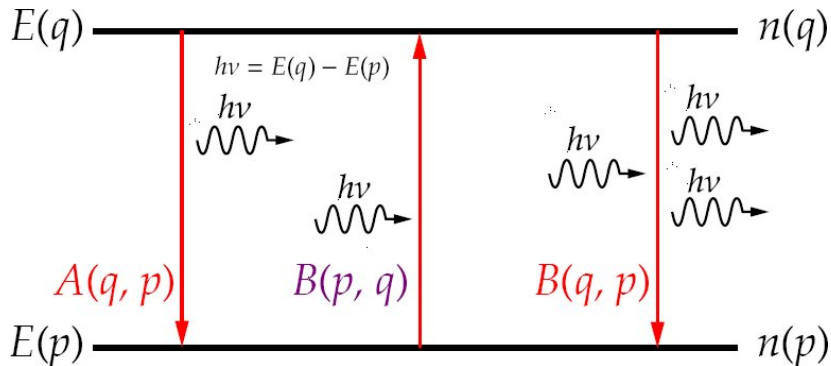
- ▶ En E.T., se cumple Boltzmann

$$\frac{n_p}{n_q} = \frac{g_p}{g_q} e^{\frac{\Delta E_{pq}}{kT}}$$

- ▶ $X(q, p) = X(p, q) \frac{g_p}{g_q} e^{\frac{\Delta E_{pq}}{kT}}$



Coefficientes de Einstein



Balance Detallado

- ▶ En equilibrio termodinámico:

$$A(q, p) n(q) + B(q, p) n(q) \rho(\nu) = B(p, q) n(p) \rho(\nu)$$

- ▶ Boltzmann:

$$\frac{n_p}{n_q} = \frac{g_p}{g_q} e^{\frac{\Delta E_{pq}}{kT}}$$

- ▶ $\rho(\nu) = \frac{\frac{A(q,p)}{B(q,p)}}{\frac{B(p,q) g(p)}{B(q,p) g(q)} \exp\left(\frac{h\nu}{kT}\right) - 1}$

- ▶ La radiación en equilibrio es de **cuerpo negro**

$$\rho(\nu) = \frac{8\pi h \nu^3}{c^3} \frac{1}{e^{\frac{h\nu}{kT}} - 1}$$

- ▶ En frecuencia angular: $\rho(\omega) = \frac{\hbar \omega^3}{\pi^2 c^3} \frac{1}{e^{\frac{\hbar \omega}{kT}} - 1}$

Balance Detallado

Igualando :

$$\rho(\omega) = \frac{\frac{A(q,p)}{B(q,p)}}{\frac{B(p,q) g(p)}{B(q,p) g(q)} \exp\left(\frac{\hbar\omega}{kT}\right) - 1} = \frac{\hbar\omega^3}{\pi^2 c^3} \frac{1}{e^{\frac{\hbar\omega}{kT}} - 1}$$

Se debe cumplir:

- ▶ $\frac{B(p,q) g(p)}{B(q,p) g(q)} = 1$
- ▶ $\frac{A(q,p)}{B(q,p)} = \frac{\hbar\omega^3}{\pi^2 c^3}$

Coefficiente de Emisión Espontánea

- ▶ Consideramos el Hamiltoniano (no-relativista)

$$\hat{H} = \hat{H}_0 + \hat{H}' = \frac{\hat{p}^2}{2m} + \hat{H}'$$

- ▶ con una perturbación

$$\hat{H}' = E_0 \cos(\omega t)$$

Teoría de Perturbaciones: la tasa de transiciones entre un estado inicial i a uno final f :

$$R_{if} = B(i, f)\rho(\omega) = \frac{\pi}{3\epsilon_0\hbar^2} |M_{if}|^2 \rho(\omega)$$

- ▶ La matriz de transición dipolar es

$$M_{if} = \langle f | e \hat{r} | i \rangle \equiv e D_{if}$$

Detalles de aproximación dipolar

- ▶ El Hamiltoniano de una partícula en un campo

$$\hat{H} = \frac{(\hat{p} - q\hat{A}/c)^2}{2m} + q\phi$$

- ▶ En Coulomb gauge ($\vec{\nabla} \cdot \hat{A} = 0 \Rightarrow [\hat{A}, \hat{p}] = 0$):

$$\hat{H}_0 = \frac{\hat{p}^2}{2m} - e\phi \quad \hat{H}_1 = \frac{e\hat{p} \cdot \hat{A}}{m_e c} + \frac{e^2}{2m_e c^2} \hat{A} \cdot \hat{A}$$

- ▶ Aproximación dipolar: $\hat{A} = \vec{\epsilon} e^{-i\vec{k} \cdot \vec{r}} \approx \vec{\epsilon}$

- ▶ $M_{fi} = \frac{e}{m_e c} \langle f | \hat{p} \cdot \hat{A} | i \rangle \approx \frac{e}{m_e c} \vec{\epsilon} \langle f | \hat{p} | i \rangle$

- ▶ $\langle f | \hat{p} | i \rangle = m \langle f | \frac{d\hat{r}}{dt} | i \rangle = m \frac{i}{\hbar} \langle f | [\hat{H}, \hat{r}] | i \rangle$

- ▶ $\langle f | [\hat{H}, \hat{r}] | i \rangle = (E_f - E_i) \langle f | \hat{r} | i \rangle$

$$M_{fi} = i \frac{e}{c} \omega_{if} \langle f | \vec{\epsilon} \cdot \hat{r} | i \rangle$$

Coefficiente de Emisión Espontánea

- ▶ $A_{ji} = \frac{\hbar\omega^3}{\pi^2 c^3} B_{ji}$
- ▶ $B_{ij} = \frac{\pi}{3\epsilon_0 \hbar^2} |eD_{ij}|^2$

Reemplazando

$$A_{ji} = \frac{32\pi^3}{3} \frac{e^2}{4\pi\epsilon_0 \hbar} \left(\frac{1}{\lambda}\right)^3 |\langle \psi_i(\mathbf{r}) | \mathbf{r} | \psi_j(\mathbf{r}) \rangle|^2$$

- ▶ Con λ en nm:

$$A_{ji} = 2.026 \times 10^{15} \frac{1}{\lambda^3} |D_{ij}|^2$$

- ▶ (Práctica):

Suponiendo $E = \frac{Z^2}{2} \alpha^2 m_e c^2$, y usando $\frac{mc}{\hbar} = \frac{1}{a_0 \alpha}$ y

τ (a.u.) = 2.4189×10^{-17} s:

$\Rightarrow A \approx \frac{Z^4}{2} \alpha^3 \approx Z^4 10^{10} \text{ s}^{-1}$.

Reglas de Selección (dipolar)

1. $\sum_i \Delta l_i = \pm 1$ (cambio de paridad)
2. $\Delta L = \pm 1, 0$ ($0 \rightarrow 0$ excluída)
3. $\Delta J = \pm 1, 0$ ($0 \rightarrow 0$ excluída)
4. $\Delta S = 0$
5. $\Delta M = 0, \pm 1$

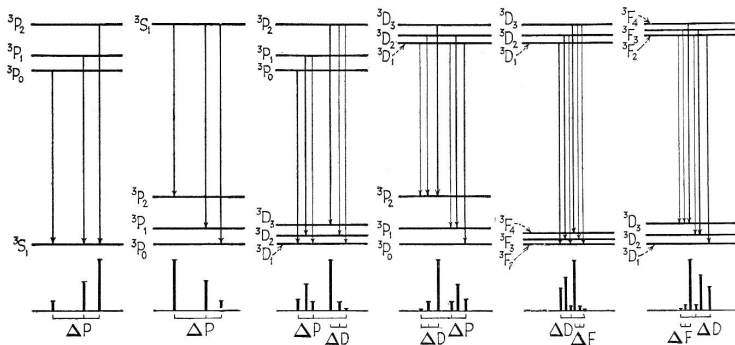
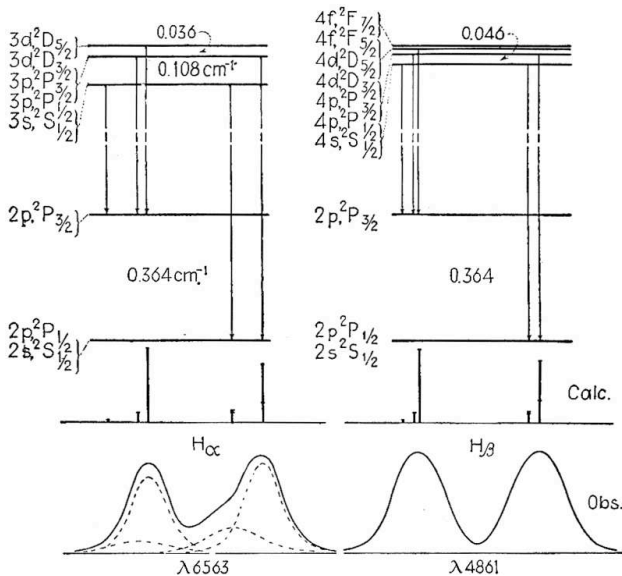


FIG. 11.4.—Triplet-triplet transitions showing selection rules and relative intensities.

(H. E. White, *Introduction to Atomic Spectra*)

$$I \propto \langle J_i || D || J_k \rangle = (-1)^{S+1+L_i+J_k} \sqrt{g_i g_k} \begin{Bmatrix} L_i & J_i & S \\ J_k & L_k & 1 \end{Bmatrix} \langle L_i || D || L_k \rangle$$



(H. E. White, *Introduction to Atomic Spectra*)

Líneas de Balmer

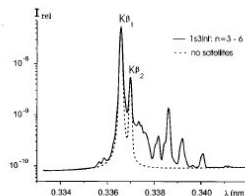
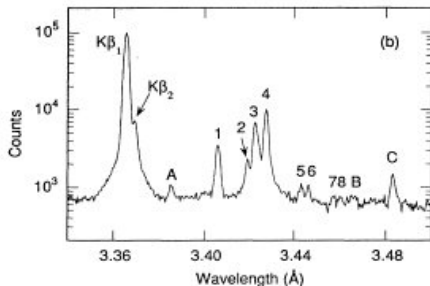


FIG. 3. Line overlapping of dielectronic Rydberg satellites $1s3lnl'$ with the $K\beta$ lines, $n_e = 10^{19} \text{ cm}^{-3}$, $kT_e = 500 \text{ eV}$.

Oscillator Strengths

- ▶ Se define un elemento adimensional

$$f_{ka} = \frac{2m\omega_{ka}}{3\hbar} |\mathbf{r}_{ka}|^2$$

- ▶ $\omega_{ka} = (E_k - E_a)/\hbar$ puede ser positiva (absorción) o negativa (emisión).

- ▶ Se puede probar la regla de Thomas, Reiche y Kuhn

$$\sum_k f_{ka} = 1$$

- ▶ $\sum_{n'} f(n, l \rightarrow n', l - 1) = -\frac{l(2l-1)}{3(2l+1)}$
- ▶ $\sum_{n'} f(n, l \rightarrow n', l + 1) = \frac{(l+1)(2l+3)}{3(2l+1)}$

- ▶ Con esta definición:

$$A_{ji} = \frac{8\pi^2 e^2}{mc} \frac{1}{\lambda^2} |f_{ji}|$$

Oscillator Strengths

OSCILLATOR STRENGTH SUM RULES

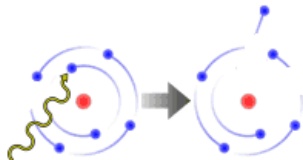
14-14

TABLE 14-4. NON-RELATIVISTIC ARRAY (=MULTIPLY) OSCILLATOR STRENGTHS FOR HYDROGENIC ATOMS^a

Initial Final	1s	2s	2p		3s	3p		3d		
	np	np	ns	nd	np	ns	nd	np	nf	
n=1	---	---	-0.139	---	---	-0.026	---	---	---	
2	0.4162	---	---	---	-0.041	-0.145	---	-0.417	---	
3	0.0791	0.4349	0.014	0.696	---	---	---	---	---	
4	0.0290	0.1028	0.0031	0.122	0.484	0.032	0.619	0.011	1.016	
5	0.0139	0.0419	0.0012	0.044	0.121	0.007	0.139	0.0022	0.156	
6	0.0078	0.0216	0.0006	0.022	0.052	0.003	0.056	0.0009	0.053	
7	0.0048	0.0127	0.0003	0.012	0.027	0.002	0.028	0.0004	0.025	
8	0.0032	0.0081	0.0002	0.008	0.016	0.001	0.017	0.0002	0.015	
n=9 to ∞	0.0109	0.0268	0.0007	0.023	0.048	0.004	0.045	0.0007	0.037	
Sum	Discrete	0.5650	0.6489	-0.119	0.928	0.707	-0.121	0.904	-0.402	1.302
	Continuum	0.4350	0.3511	0.008	0.183	0.293	0.010	0.207	0.002	0.098
Total	1.000	1.000	-0.111	1.111	1.000	-0.111	1.111	-0.400	1.400	

^aValues for larger l may be found in H. A. Bethe and E. E. Salpeter, ref. 4, Sec. 63. For $Z > 20$, oscillator strengths depart increasingly strongly from the above values.

Fotoionización


 $1s2s^2$
 $1s2s^2nl$
 $1s2s^23p$
 $1s2s^23s$
 $1s2s^22p$
 E_{II}
 $1s^22snl$
 $1s^22s3p$
 $1s^22s3s$
 $1s^22s2p$
 $1s^22s$

Li-like

 E_I
 $1s^22s^2$
 Be-like

Fotoionización

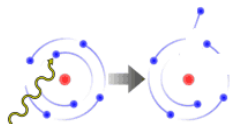
- ▶ Vamos a considerar la transición de un electrón en el estado fundamental del hidrógeno a un estado del continuo

$$\varphi_f \propto \exp(i\mathbf{k} \cdot \mathbf{r})$$

- ▶ Con ciertas aproximaciones, la sección eficaz de fotoionización es

$$\sigma_{1k} = \frac{256\pi}{3} \alpha Z^{-2} \left(\frac{|X_H|}{\hbar\omega} \right)^{7/2} a_0^2$$

- ▶ Notar que decrece como $(\hbar\omega)^{-7/2}$ y crece como Z^5 .

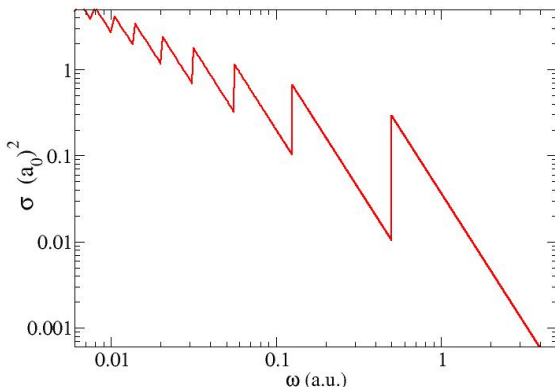


Fotoionización

- ▶ Para el caso general, la ionización desde el nivel n es

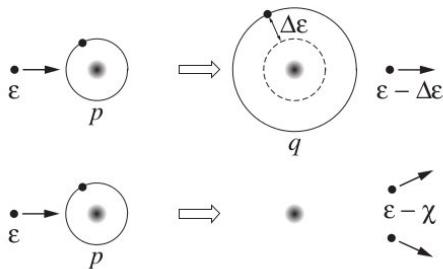
$$\sigma_{nk} = \frac{64\pi}{3\sqrt{3}} \alpha g_{nk} \left(\frac{1}{Z}\right)^2 n \left(\frac{\omega_n}{\omega}\right)^3 a_0^2$$

- ▶ Notar que decrece como $(\omega)^{-3}$



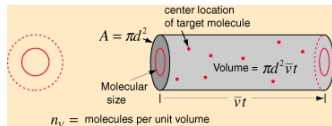
Procesos Colisionales

- ▶ Excitación por impacto de electrones
- ▶ De-excitación por impacto de electrones
- ▶ Ionización por impacto de electrones
- ▶ Recombinación por impacto de electrones



Sección Eficaz

- ▶ Supongamos que un proyectil incide sobre un área A .
- ▶ Hay n_b partículas (blanco) por m^3 .
- ▶ La velocidad del proyectil (en \hat{x}) es v y la unidad de tiempo t .
- ▶ El número de partículas que pueden colisionar con el proyectil es $n_b V = n_b (A \times x) = n_b A v t$.
- ▶ El número de colisiones por unidad de tiempo es $n_b A v$.



Sección Eficaz

- ▶ Se define como **sección eficaz** (σ) al área efectiva que produce un proceso determinado por unidad de tiempo.
- ▶ O sea, el número de procesos que se producen por unidad de tiempo (debido a un proyectil) es $n_b \sigma v$.

▶ Supongamos que la densidad de los proyectiles es de n_p

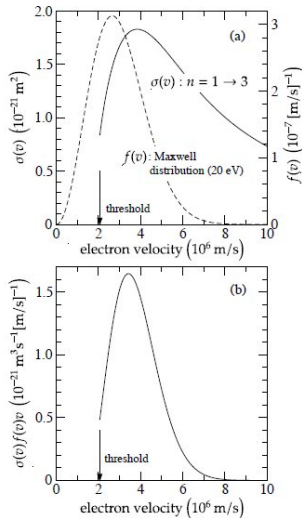
▶ El número total de procesos que se producen por unidad de volumen, por unidad de tiempo es

$$\int n_b \sigma v dn_p(v) = n_b n_p \int \sigma v \frac{dn_p(v)}{n_p} = n_b n_p \int \sigma v f(v) dv = \\ = n_b n_p \langle \sigma v \rangle$$

▶ A la cantidad $\langle \sigma v \rangle \equiv \int \sigma v f(v) dv$ se la llama **tasa** ($[m^3 s^{-1}]$).

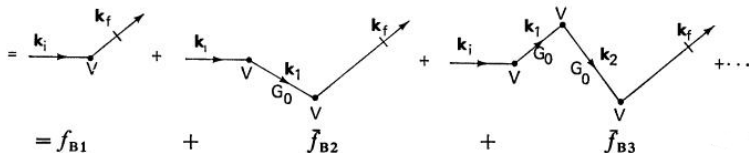
Tasa y Sección Eficaz

- ▶ $\sigma v f(v) dv$ es función de la velocidad
- ▶ Pero $\langle \sigma v \rangle \equiv \int \sigma v f(v) dv$ es función de la Temperatura unicamente !!



Aproximación de Born

Esta aproximación permite calcular secciones eficaces de excitación en forma simple.



$$\psi_0(\mathbf{r}) = \Phi_{k_i}(\mathbf{r}) = (2\pi)^{-3/2} e^{i\mathbf{k}_i \cdot \mathbf{r}}$$

$$\psi_1(\mathbf{r}) = \Phi_{k_i}(\mathbf{r}) + \int G_0(\mathbf{r}, \mathbf{r}') U(\mathbf{r}') \Phi_{k_i}(\mathbf{r}') d\mathbf{r}'$$

$$\psi_2(\mathbf{r}) = \Phi_{k_i}(\mathbf{r}) + \int G_0(\mathbf{r}, \mathbf{r}') U(\mathbf{r}') \psi_1(\mathbf{r}') d\mathbf{r}'$$

(1)

Excitación

Para **neutrales**, la aproximación de Born para la sección eficaz de excitación por impacto de electrones resulta:

$$\sigma_{ij}(u) = 4\pi a_0^2 \frac{I_H}{\Delta E_{ij}} \frac{1}{u} \log 4u |s_{ij}|^2$$

donde $|s_{ij}|^2 = \frac{1}{3a_0^2} |r_{ij}|^2$ y $u = \frac{E}{E_{ij}}$.

En función del *absorption oscillator strenght* f_{ij} se expresa (práctica):

$$\sigma_{ij}(u) = 4\pi a_0^2 f_{ij} \left(\frac{I_H}{\Delta E_{ij}} \right)^2 \frac{1}{u} \log 4u$$

Excitación

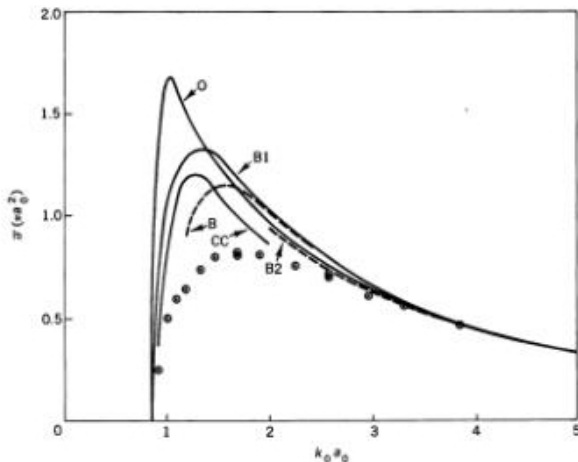


FIG. 11. Total cross section for the $1s \rightarrow 2p$ excitation of hydrogen atoms by electron impact: B1, first Born approximation; B2, second Born approximation (to order U^2); O, Oppenheimer approximation; B, Bethe approximation; CC, close coupling approximation with $1s-2s-2p$ basis set (Section 16); circles, experimental results normalized to the Born approximation at 200 eV ($k_0 a_0 = 3.84$).

Excitación

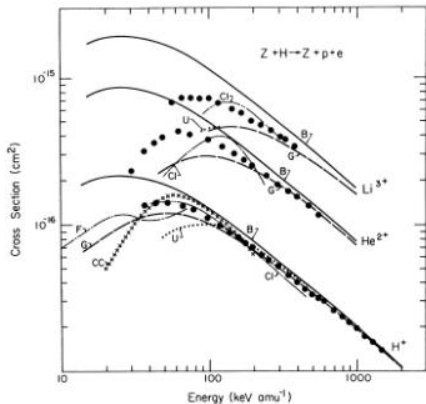
Experimentalmente se encuentra que en el umbral ("threshold") la sección eficaz se anula $\sigma(1) = 0$.

Discrepancias Fundamentales

- ▶ $\sigma(1)^{Born} \neq 0$.
- ▶ $\sigma_{max}^{exp} < \sigma_{max}^{Born}$
- ▶ $u_{max}^{exp} > u_{max}^{Born}$

Schwob and Drawin:

$$\sigma_{ij}(u) = 4\pi a_0^2 R f_{ij} \left(\frac{I_H}{\Delta E_{ij}} \right)^2 \frac{u-1}{u^2} \log \beta u$$

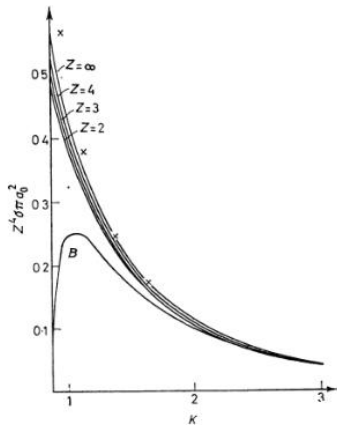


Excitación

Para **iones** (en estos casos $\sigma(1) \neq 0$), se puede utilizar la aproximación de Van Regemorter:

$$\sigma_{ij}(u) = 4\pi a_0^2 2\pi\sqrt{3} f_{ij} \left(\frac{I_H}{\Delta E_{ij}} \right)^2$$

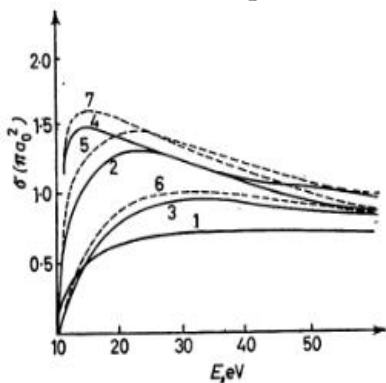
El *factor de Gaunt* $g(u)$ es aproximadamente 0.2 cerca del umbral, y se ajusta con el valor de neutrales para altas energías.



Transiciones Prohibidas

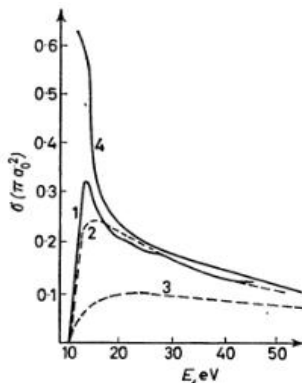
Transición Permitida:

$1s - 2p$



Transición "Prohibida":

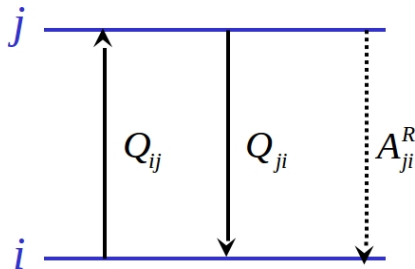
$1s - 2s$



De-Excitación

En general, los coeficientes de de-excitación colisional son poco conocidos. Pero están profundamente relacionados con los de excitación.

- ▶ Consideremos un plasma LTE. La microreversibilidad dice que $n_e n_j Q_{ji}(T_e) = n_e n_i Q_{ij}(T_e)$
- ▶ En LTE se cumple Boltzmann \Rightarrow



$$Q_{ji} = \frac{n_i}{n_j} Q_{ij}(T_e) = \frac{g_i}{g_j} e^{\frac{\Delta E_{ij}}{kT_e}} Q_{ij}(T_e)$$

De-Excitación

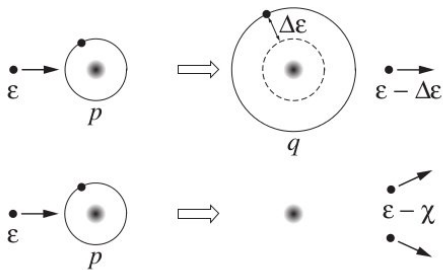
Si bien derivamos la expresión anterior asumiendo un plasma en LTE, existe una relación entre las secciones eficaces. Esta relación es una **propiedad atómica**.

- ▶ Consideremos un plasma LTE. La microreversibilidad dice que $n_e n_j \sigma_{ji}(v_j) v_j f(v_j) dv_j = n_e n_i \sigma_{ij}(v_i) v_i f(v_i) dv_i$
- ▶ $\frac{1}{2} m_e v_i^2 = \Delta E_{ij} + \frac{1}{2} m_e v_j^2$
- ▶ $v_i dv_i = v_j dv_j$ (diferenciando).
- ▶ $\frac{\sigma_{ji}(v_j)}{\sigma_{ij}(v_i)} = \frac{n_i f(v_i)}{n_j f(v_j)}$
- ▶ Se cumplen Maxwell y Boltzmann \Rightarrow

$$\sigma_{ji}(E_i) = \frac{g_i}{g_j} \frac{E_i}{E_j} \sigma_{ij}(E_i)$$

Procesos Colisionales

- ▶ Excitación por impacto de electrones
- ▶ De-excitación por impacto de electrones
- ▶ Ionización por impacto de electrones
- ▶ Recombinación por impacto de electrones



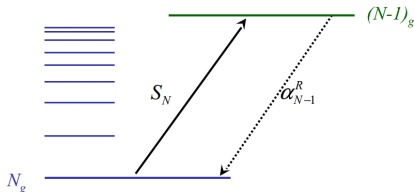
Ionización

En el cálculo de este proceso también se puede utilizar la aproximación de Born:

$$\sigma_{ij}(u) = 4\pi a_0^2 \frac{I_H}{\Delta E_{ij}} \frac{1}{u} \log 4u |s_{ij}|^2$$

donde $|s_{ij}|^2 = \frac{1}{3a_0^2} |r_{ij}|^2$ y

$$u = \frac{E}{E_I}.$$

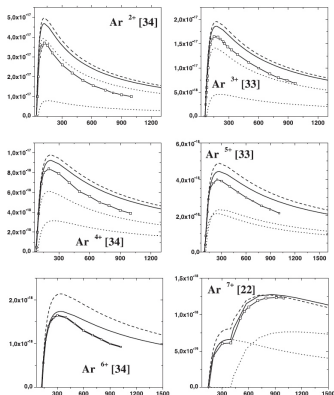


Ionización

Una fórmula semi-empírica muy popular es la fórmula de **Lotz**, de ionización de un ión de carga r en el estado fundamental:

$$S_r = 3.03 \times 10^6 \sum_s \frac{\zeta_s}{kT_e^{3/2}} \frac{E_1(E_{r,s}/kT_e)}{(E_{r,s}/kT_e)}$$

donde S_r está en cm^3s^{-1} , kT_e es la temperatura electrónica en eV, ζ_s es el número de ocupación de la subcapa s , y $E_{r,s}$ es la energía de ligadura de los electrones en esta subcapa (en eV). E_1 es la función exponencial-integral.



Recombinación por tres-cuerpos

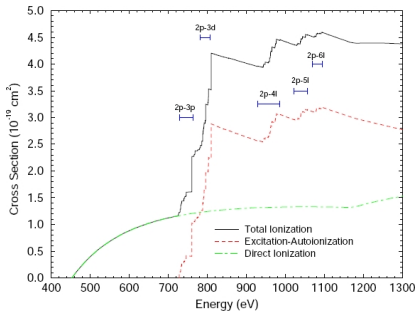
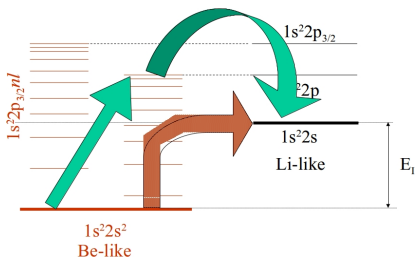
El proceso inverso al de ionización consiste inicialmente en dos electrones libres y un ión de carga $r + 1$ (en el estado fundamental f), y la captura de uno de ellos, formando un ión de carga r , en un estado j , (más un electrón libre) en el estado final.

- ▶ Consideremos un plasma LTE. La microreversibilidad dice que

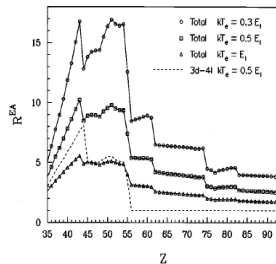
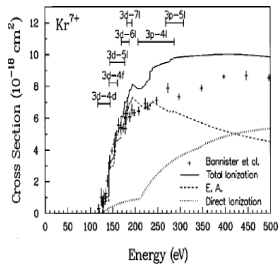
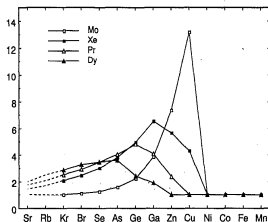
$$n_e^2 n_{r+1,f} \alpha_{r+1,f \rightarrow r,j}^R(T_e) = n_e n_{r,j} S_{r,j \rightarrow r+1,f}(T_e)$$
- ▶ $\alpha_{r+1,f \rightarrow r,j}^R(T_e) = \frac{n_{r,j}}{n_e n_{r+1,f}} S_{r,j \rightarrow r+1,f}(T_e)$
- ▶ En LTE se cumple Saha \Rightarrow

$$\alpha_{r+1,f \rightarrow r,j}^R(T_e) = \frac{g_{r,j}}{2g_{r+1,f}} \frac{h^3}{(2\pi m_e k T_e)^{3/2}} e^{\Delta E_{rj,f}/kT_e} S_{r,j \rightarrow r+1,f}(T_e)$$

Excitación–Autoionización



Excitación–Autoionización



Recombinación Radiativa

Es el proceso inverso de Fotoionización.

- ▶ Número de recombinaciones del ión $r + 1$ en el nivel f , por s cm^3 , debido a electrones con velocidades $(v, v + dv)$:

$$N_{k \rightarrow i} = n_{r+1,f} n_e \sigma_{ki}(v) f(v) dv$$

- ▶ Número de fotoionizaciones producidas del ión r en el nivel i , debido a un campo de intensidad J_ν

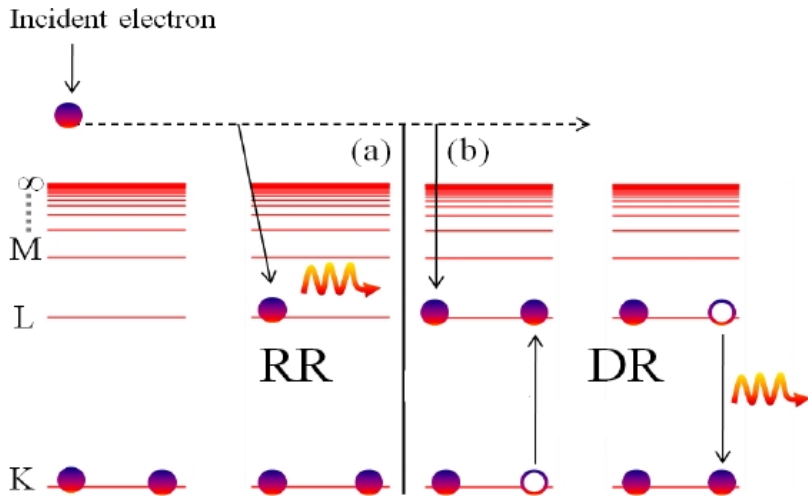
$$N_{i \rightarrow k} = \frac{4\pi}{h\nu} n_{r,i} \sigma_{ik}(\nu) J_\nu(\nu) d\nu$$

- ▶ Para incluir el efecto de emisión estimulada J_ν es reemplazada por $J_\nu(1 - e^{-\frac{h\nu}{kT_e}})$

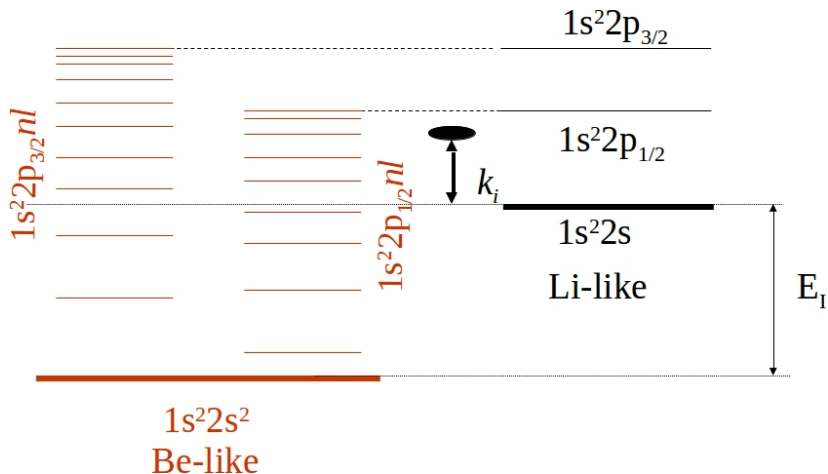
- ▶ Usando Planck, Maxwell y Saha \Rightarrow

$$\sigma_{ki} = \frac{g_{r,i}}{g_{r+1,f}} \frac{h^2}{m_e^2 c^2} \frac{\nu}{v^2}$$

Recombinación Dielectrónica



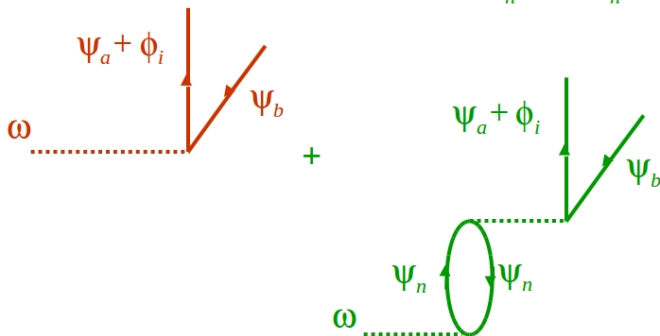
Recombinación Dielectrónica



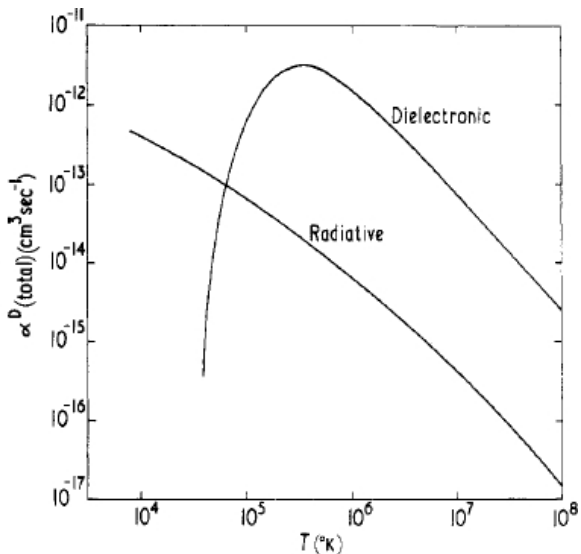
Recombinación Dielectrónica

Photoionization:

$$M_{ba} = \langle \psi_b | \mathbf{D} | \psi_a \phi_i \rangle + \frac{\langle \psi_b | \mathbf{V} | \psi_n \rangle \langle \psi_n | \mathbf{D} | \psi_a \phi_i \rangle}{\Delta_n + i \Gamma_n / 2}$$



Recombinación Dielectrónica



Recombinación Dielectrónica



Recombinación Dielectrónica

